

ЗАДАЧА КАПИЦЫ ДЛЯ МАГНИТНЫХ МОМЕНТОВ СИНТЕТИЧЕСКИХ АНТИФЕРРОМАГНИТНЫХ СИСТЕМ

Ю. И. Джесжеря^a, К. О. Демишиев^{b*}, В. Н. Коренивский^c

^a Институт магнетизма Национальной академии наук Украины
03142, Киев, Украина

^b Национальный технический университет Украины «КПИ»
03056, Киев, Украина

^c KTH Royal Institute of Technology
10691, Stockholm, Sweden

Поступила в редакцию 21 октября 2011 г.

Для синтетических антиферромагнитных систем с магнитодипольной связью исследована динамика намагниченности в быстроосцилирующем поле. Показано, что система может вести себя аналогично маятнику Капицы. Установлено, что переменное магнитное поле эффективно используется для управления магнитным состоянием ячейки синтетического антиферромагнетика. В аналитическом виде найдены соотношения параметров такого антиферромагнетика и внешнего магнитного поля, при которых реализуются определенные квазистационарные состояния.

1. ВВЕДЕНИЕ

В последнее время разработаны новые системы, состоящие из синтетических антиферромагнетиков (САФМ) и известные в научной литературе под названием спин-флоп-бислоев. Они содержат две ферромагнитные наночастицы с антипараллельной связью, обусловленной межслойным магнитным обменом или диполь-дипольным взаимодействием.

Подобные системы рассматриваются в качестве ячеек магнитной оперативной памяти [1, 2] запоминающих устройств нового поколения. Отличительной чертой САФМ является достаточно высокая стабильность их магнитного состояния к тепловым флуктуациям при высокой степени компенсации магнитных полей рассеивания [3]. В двумерных решетках, составленных из САФМ, удается в значительной степени снизить влияние соседей при оперировании с конкретной ячейкой памяти. Интересен, с точки зрения практического применения, отклик отдельных САФМ-ячеек и их ансамблей на переменное магнитное поле. Было показано, что спиновая динамика решеток таких частиц имеет колективный характер, что проявляется в формирова-

нии акустической и оптической мод спинового резонанса [4]. Дальнейшее изучение спиновой динамики спин-флоп-системы необходимо для повышения качества существующих и разработки новых устройств памяти.

Впервые влияние высокочастотного магнитного поля на ферромагнитную систему, по аналогии с задачей Капицы [5], рассмотрено в работе [6]. Было показано, что переменное поле способно изменять эффективную анизотропию системы. Дальнейшие исследования выявили влияние высокочастотного поля на параметры доменных структур в ферромагнитных [7–9] и антиферромагнитных [10, 11] материалах. Похожее влияние на доменную структуру способны оказывать высокочастотные акустические волны [12, 13]. Отклик на переменное поле двух магнитосвязанных ферромагнитных слоев исследовался численными методами в работах [14, 15]. В работах [16, 17] также рассмотрена задача Капицы при исследовании механических колебаний намагниченных частиц, связанных диполь-дипольным взаимодействием.

В данной работе методами теоретической физики исследован режим высокочастотного возбуждения двух связанных макроспинов САФМ-ячейки и показано, что система ведет себя аналогично ма-

*E-mail: demishev.k@gmail.com

ятнику Капицы. Установлено, что переменное магнитное поле можно эффективно использовать для управления магнитным состоянием ячейки. В аналитическом виде найдены соотношения параметров системы и внешнего магнитного поля, при которых реализуются устойчивые магнитные конфигурации.

2. УРАВНЕНИЯ ДИНАМИКИ ПАРЫ СВЯЗАННЫХ МАГНИТНЫХ МОМЕНТОВ

Основные элементы САФМ-ячейки представлены на рис. 1.

САФМ-ячейки, как правило, изготавливают из материала с пренебрежимо малой магнитной анизотропией (пермаллоем). Когда между слоями «выключено» обменное взаимодействие, например, путем нанесения немагнитной прослойки со слабыми транспортными характеристиками, магнитная связь слоев САФМ-ячейки определяется диполь-дипольным взаимодействием.

Поскольку толщина эллиптических слоев значительно уступает длине полуосей, магнитные моменты \mathbf{M}_n ориентируются в плоскости и образуют антиферромагнитную пару, ориентированную параллельно длинной оси эллипса. Здесь и в дальнейшем будем полагать, что эллиптические диски обладают малым эксцентриситетом, так что

$$(a - b)/a \ll 1. \quad (1)$$

Когда амплитуда внешнего поля \mathbf{H} невелика, магнитные моменты совершают малые колебания. При дальнейшем повышении амплитуды переменного поля к потенциальной энергии системы добавляется энергия колебаний. Новое положение равновесия будет уже определяться из условий минимума эффективной потенциальной энергии, как в задаче Капицы для маятника [5].

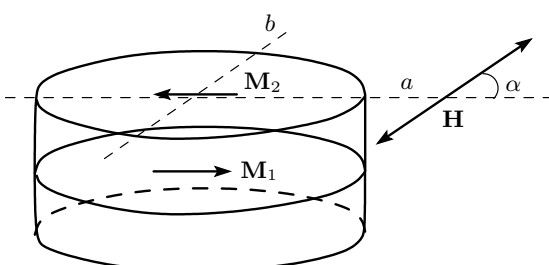


Рис. 1

Поскольку размеры ферромагнитных дисков значительно уступают характерной магнитной длине,

$$a \ll \Lambda = \sqrt{\alpha_0/4\pi},$$

где α_0 — константа обменного взаимодействия, распределение намагниченности в них будем считать однородным. Далее введем в рассмотрение среднюю по двум слоям плотность магнитной энергии системы, которая определяется ориентацией магнитных моментов:

$$\begin{aligned} W = \frac{1}{2} & [-\mathbf{M}_1 \cdot \mathbf{H} - \mathbf{M}_2 \cdot \mathbf{H} + 2\pi N_x (M_1^{x2} + M_2^{x2}) + \\ & + 2\pi N_y (M_1^{y2} + M_2^{y2}) + 2\pi N_z (M_1^{z2} + M_2^{z2}) + \\ & + 4\pi\gamma_x M_1^x M_2^x + 4\pi\gamma_y M_1^y M_2^y + 4\pi\gamma_z M_1^z M_2^z], \end{aligned} \quad (2)$$

где \mathbf{M}_n — вектор намагниченности n -го слоя, вектор внешнего магнитного поля \mathbf{H} лежит в плоскости дисков; коэффициенты γ_i ($i = x, y, z$) играют роль констант межслойного обмена магнитодипольного происхождения и N_i — усредненный по объему диска размагничивающий коэффициент, определяются соотношениями

$$\gamma_i = \frac{1}{4\pi V_0} \int_{V_1} \int_{V_2} dv dv' \frac{\partial^2}{\partial x_i \partial x'_i} \frac{1}{|\mathbf{r} - \mathbf{r}'|}, \quad (3)$$

$$N_i = \frac{1}{4\pi V_0} \int_{V_1} \int_{V_2} dv dv' \frac{\partial^2}{\partial x_i \partial x'_i} \frac{1}{|\mathbf{r} - \mathbf{r}'|},$$

$i = x, y, z$, $V_0 = V_1 = V_2$ — объем диска, а интегрирование проводится по объему соответствующего диска (V_1 и V_2).

Поскольку толщина дисков значительно меньше их поперечного размера, справедливо приближение

$$N_x < N_y \ll N_z \approx 1. \quad (4)$$

Мы полагаем, что диски лежат в плоскости xy , а их длинные полуоси совпадают с направлением x . В конечном итоге величины γ_i , N_x , $N_y \ll 1$ являются малыми параметрами.

Для определения характеристической величины коэффициентов (4) можно воспользоваться предельными значениями размагничивающих коэффициентов [18]. Так, для тонкого круглого диска размагничивающий коэффициент в плоскости равен $N_{||} = \pi L/8a$, где L и a — соответственно толщина и радиус диска.

Поскольку в нашем случае эксцентриситет невелик (1), значение размагничивающих коэффициентов будет удовлетворять соотношениям $N_x, N_y \approx N_{||}$. В то же время для параметра «анизотропии

формы» в плоскости диска будет справедлива оценка

$$\frac{N_y - N_x}{N_y} \sim \frac{a - b}{a} \ll 1.$$

Коэффициенты γ_i по величине значительно уступают размагничивающим коэффициентам и удовлетворяют следующим оценкам:

$$\gamma_x, \gamma_y \sim (N_y - N_x).$$

Для изготовленных из пермаллоя САФМ-ячеек [3] численные значения параметров удовлетворяли оценкам

$$4\pi\gamma_x M_0, 4\pi\gamma_y M_0, 4\pi(N_y - N_x)M_0 \sim 100-200 \text{ Э.}$$

Для описания поля намагниченности введем угловые переменные:

$$\mathbf{M}_i = M_0(\cos\phi_n \sin\theta_n, \sin\phi_n \sin\theta_n, \cos\theta_n). \quad (5)$$

Учитывая «анизотропию формы» системы, можно утверждать, что намагниченность незначительно отклоняется от базовой плоскости xy , так что

$$\theta_n = \pi/2 + \xi_n, \quad |\xi_n| \ll 1. \quad (6)$$

Плотность энергии (2) с учетом выражений (4)–(6) принимает вид

$$\begin{aligned} W = & \pi(N_x + N_y)M_0^2 + \\ & + 4\pi M_0^2 \left[-h \cos\omega t \cos(\Phi - \alpha) \cos\chi + \right. \\ & + \frac{\gamma_x + \gamma_y}{4} \cos 2\chi - \frac{\gamma_y - \gamma_x}{4} \cos 2\Phi - \\ & \left. - \frac{N_y - N_x}{4} \cos 2\Phi \cos 2\chi + \frac{1}{8}(m_z^2 + l_z^2) \right], \end{aligned} \quad (7)$$

где $h_x = h \cos\omega t \cos\alpha$, $h_y = h \cos\omega t \sin\alpha$, $h = H/4\pi M_0$ — приведенная амплитуда магнитного поля, α — угол ориентации магнитного поля в плоскости xy , ω — частота колебаний магнитного поля,

$$\Phi = \frac{\phi_1 + \phi_2}{2}, \quad \chi = \frac{\phi_1 - \phi_2}{2},$$

$m_z = \xi_1 + \xi_2$, $l_z = \xi_1 - \xi_2$, m_z и l_z — z -компоненты результирующих векторов намагниченности и антиферромагнетизма пары слоев, нормированные на M_0 . При записи формулы (7) мы пренебрегли членами типа $\gamma_k \xi_i \xi_j$, $N_x \xi_i \xi_j$, $N_y \xi_i \xi_j$ как величинами третьего порядка малости.

Уравнения Ландау–Лифшица в новых переменных имеют вид

$$\begin{aligned} -\frac{dm_z}{dt} &= \frac{g}{M_0} \frac{\delta W}{\delta \Phi}, \quad \frac{d\Phi}{dt} = \frac{g}{M_0} \frac{\delta W}{\delta m_z}, \\ -\frac{dl_z}{dt} &= \frac{g}{M_0} \frac{\delta W}{\delta \chi}, \quad \frac{d\chi}{dt} = \frac{g}{M_0} \frac{\delta W}{\delta l_z}, \end{aligned} \quad (8)$$

где $g = 2\mu_B/\hbar$, μ_B — магнетон Бора.

Система (8) сводится к паре уравнений второго порядка:

$$\begin{aligned} -\frac{d^2\Phi}{d\tau^2} &= [(N_y - N_x) \cos 2\chi + \gamma_y - \gamma_x] \sin\Phi \cos\Phi + \\ &+ h \sin(\Phi - \alpha) \cos\chi \cos\Omega\tau, \\ -\frac{d^2\chi}{d\tau^2} &= [(N_y - N_x) \cos 2\Phi - \gamma_y - \gamma_x] \sin\chi \cos\chi + \\ &+ h \cos(\Phi - \alpha) \sin\chi \cos\Omega\tau, \end{aligned} \quad (9)$$

где $\tau = t\omega_0$, $\Omega = \omega/\omega_0$, $\omega_0 = 4\pi\mu_B M_0/\hbar$ — характерная частота колебаний системы.

Уравнения (9) являются основой теоретического исследования динамики системы. Несмотря на ряд упрощений, структура уравнений остается достаточно сложной из-за большого числа параметров. Однако состояние магнитной системы может быть подробно исследовано в каждом частном случае, когда частота внешнего поля значительно превышает некоторую характерную частоту системы порядка $\omega_0 \sqrt{N_y - N_x}$.

3. РАВНОВЕСНЫЕ КОНФИГУРАЦИИ СВЯЗАННЫХ МАГНИТНЫХ МОМЕНТОВ В ОСЦИЛЛИРУЮЩЕМ ПОЛЕ

Рассмотрим влияние быстрых осцилляций магнитного поля на равновесные конфигурации пары магнитных моментов, связанных диполь–дипольным взаимодействием. При этом будем полагать, что на плавное изменение угловых переменных накладываются быстрые осцилляции. Данная система имеет формальное сходство с маятником Капицы [5].

Переменные Φ и χ представим в виде

$$\Phi = \Phi_0 + \phi, \quad \chi = \chi_0 + \varepsilon, \quad (10)$$

где величины Φ_0 и χ_0 описывают «гладкое» движение, а ϕ и ε — малые, но быстрые осцилляции.

Выполняя условия, оговоренные в работе [5], запишем уравнения для осциллирующих переменных:

$$\begin{aligned} -\frac{d^2\phi}{d\tau^2} &= h \sin(\Phi_0 - \alpha) \cos\chi_0 \cos\Omega\tau, \\ -\frac{d^2\varepsilon}{d\tau^2} &= h \cos(\Phi_0 - \alpha) \sin\chi_0 \cos\Omega\tau, \end{aligned} \quad (11)$$

а также для «гладких» переменных:

$$\begin{aligned} -\frac{d^2\Phi_0}{d\tau^2} &= [(N_y - N_x) \cos 2\chi_0 + \gamma_y - \gamma_x] \times \\ &\times \sin\Phi_0 \cos\Phi_0 - h \sin(\Phi_0 - \alpha) \sin\chi_0 \overline{\varepsilon \cos\Omega\tau} + \\ &+ h \cos(\Phi_0 - \alpha) \cos\chi_0 \overline{\phi \cos\Omega\tau}, \end{aligned} \quad (12)$$

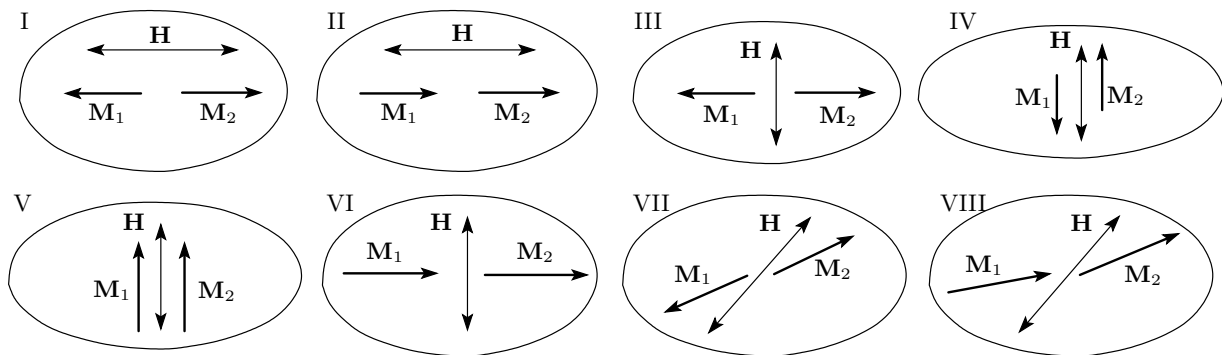


Рис. 2. Схематические изображения магнитных конфигураций

$$-\frac{d^2\chi_0}{d\tau^2} = [(N_y - N_x) \cos 2\Phi_0 - \gamma_y - \gamma_x] \times \\ \times \sin \chi_0 \cos \chi_0 + h \cos(\Phi_0 - \alpha) \cos \chi_0 \overline{\varepsilon \cos \Omega \tau} - \\ - h \sin(\Phi_0 - \alpha) \sin \chi_0 \overline{\phi \cos \Omega \tau}. \quad (13)$$

Черта над членами уравнений (12), (13) обозначает усреднение по периоду колебаний. За это время никаких существенных изменений величин Φ_0 и χ_0 не происходит.

Интегрирование уравнений (11) не представляет труда, поскольку медленно меняющиеся величины Φ_0 и χ_0 можно считать постоянными параметрами. При этом имеем

$$\phi = (h/\Omega^2) \sin(\Phi_0 - \alpha) \cos \chi_0 \cos \Omega \tau, \\ \varepsilon = (h/\Omega^2) \cos(\Phi_0 - \alpha) \sin \chi_0 \cos \Omega \tau.$$

Таким образом, условия малости величин ϕ и ε сводятся к соотношению $h\Omega^2 \ll 1$.

После усреднения по времени система (12), (13) запишется в виде

$$-\frac{d^2\Phi_0}{d\tau^2} = [(N_y - N_x) \cos 2\chi_0 + \gamma_y - \gamma_x] \times \\ \times \sin \Phi_0 \cos \Phi_0 + \frac{h^2}{4\Omega^2} \cos 2\chi_0 \sin 2(\Phi_0 - \alpha), \quad (14)$$

$$-\frac{d^2\chi_0}{d\tau^2} = \left[(N_y - N_x) \cos 2\Phi_0 - \gamma_y - \gamma_x + \right. \\ \left. + \frac{h^2}{2\Omega^2} \cos 2(\Phi_0 - \alpha) \right] \sin \chi_0 \cos \chi_0. \quad (15)$$

Соотношения (14), (15) — типичная система уравнений динамики, которая имеет вид

$$-\frac{d^2\Phi_0}{d\tau^2} = \frac{\partial U_{eff}}{\partial \Phi_0}, \quad -\frac{d^2\chi_0}{d\tau^2} = \frac{\partial U_{eff}}{\partial \chi_0}, \quad (16)$$

где U_{eff} — эффективная потенциальная энергия системы с двумя степенями свободы. Значение U_{eff} восстанавливается из соответствия выражений (14), (15) и (16):

$$U_{eff}(\chi_0, \Phi_0) = -\frac{1}{4}(\gamma_y - \gamma_x) \cos 2\Phi_0 - \\ - \frac{1}{4} \cos 2\chi_0 \left[-\gamma_y - \gamma_x + (N_y - N_x) \cos 2\Phi_0 + \right. \\ \left. + \frac{h^2}{2\Omega^2} \cos 2(\Phi_0 - \alpha) \right]. \quad (17)$$

Определение эффективной потенциальной энергии (17) системы является основным результатом теории. Устойчивые магнитные конфигурации пары связанных магнитных моментов определяются из условий минимума эффективной потенциальной энергии:

$$\begin{aligned} \frac{\partial U_{eff}}{\partial \chi_0} &= 0, & \frac{\partial U_{eff}}{\partial \Phi_0} &= 0, \\ \frac{\partial^2 U_{eff}}{\partial \chi_0^2} &> 0, & \frac{\partial^2 U_{eff}}{\partial \Phi_0^2} &> 0, \\ \frac{\partial^2 U_{eff}}{\partial \chi_0^2} \frac{\partial^2 U_{eff}}{\partial \Phi_0^2} - \left(\frac{\partial^2 U_{eff}}{\partial \Phi_0 \partial \chi_0} \right)^2 &> 0. \end{aligned} \quad (18)$$

Соотношение (17) позволяет исследовать различные магнитные конфигурации (рис. 2) при произвольной ориентации внешнего поля, однако чтобы сократить вычисления и упростить задачу, были рассмотрены отдельные частные случаи (таблица), соответствующие углам ориентации магнитного поля $\alpha = 0, \pi/2, \pi/4$.

Итак, результаты исследований выявляют новый режим в динамике синтетических антиферромагнетиков, который может быть использован для управления работой устройств памяти.

Таблица

Магнитная конфигурация (см. рис. 2)	Значения углов	Условия устойчивости
$\alpha = 0$		
I	$\Phi_0 = \frac{\pi}{2}$, $\chi_0 = \frac{\pi}{2} \rightarrow \phi_1 = \pi$, $\phi_2 = 0$	$\frac{h^2}{2\Omega^2} + N_y > N_x + (\gamma_y - \gamma_x)$
II	$\Phi_0 = 0$, $\chi_0 = 0 \rightarrow \phi_1 = 0$, $\phi_2 = 0$	$\frac{h^2}{2\Omega^2} + N_y > N_x + \gamma_y + \gamma_x$
$\alpha = \pi/2$		
III	$\Phi_0 = \frac{\pi}{2}$, $\chi_0 = \frac{\pi}{2} \rightarrow \phi_1 = \pi$, $\phi_2 = 0$	$N_y - N_x > \frac{h^2}{2\Omega^2} + \gamma_y - \gamma_x$
IV	$\Phi_0 = \pi$, $\chi_0 = \frac{\pi}{2} \rightarrow \phi_1 = \frac{3\pi}{2}$, $\phi_2 = \frac{\pi}{2}$	$\frac{h^2}{2\Omega^2} > N_y - N_x - \gamma_y + \gamma_x$
V	$\Phi_0 = \frac{\pi}{2}$, $\chi_0 = 0 \rightarrow \phi_1 = \frac{\pi}{2}$, $\phi_2 = \frac{\pi}{2}$	$\frac{h^2}{2\Omega^2} > N_y - N_x + \gamma_y + \gamma_x$
VI	$\Phi_0 = 0$, $\chi_0 = 0 \rightarrow \phi_1 = 0$, $\phi_2 = 0$	$(N_y - N_x) > \frac{h^2}{2\Omega^2} + \gamma_y + \gamma_x$
$\alpha = \pi/4$		
VII	$\phi_1 = \pi + \frac{1}{2} \arctg \frac{h^2/2\Omega^2}{(N_y - N_x) - (\gamma_y - \gamma_x)}$ $\phi_2 = \frac{1}{2} \arctg \frac{h^2/2\Omega^2}{(N_y - N_x) - (\gamma_y - \gamma_x)}$	При любых параметрах системы
VIII	$\phi_1 = \phi_2 = \frac{1}{2} \arctg \frac{h^2/2\Omega^2}{(N_y - N_x) + (\gamma_y - \gamma_x)}$	$\gamma_y + \gamma_x < \frac{(N_y - N_x)(N_y - N_x + \gamma_y - \gamma_x) + (h^2/2\Omega^2)^2}{\sqrt{(N_y - N_x + \gamma_y - \gamma_x)^2 + (h^2/2\Omega^2)^2}}$

ЛИТЕРАТУРА

1. B. N. Engel et al., IEEE Trans. Magn. **41**, 132 (2005).
2. D. C. Worledge, IBM J. Res. Dev. **50**, 69 (2006).
3. V. Korenivski and D. C. Worledge, Appl. Phys. Lett. **86**, 252506 (2005).
4. A. Konovalenko et al., Phys. Rev. B **80**, 144425 (2009).
5. П. Л. Капица, ЖЭТФ **21**, 588 (1951).
6. А. И. Ахиезер, С. В. Пелетминский, ФТТ **10**, 3301 (1968).
7. А. К. Звездин, В. Г. Редько, Письма в ЖЭТФ **21**, 445 (1975).
8. В. М. Елеонский, А. К. Звездин, В. Г. Редько, ФММ **43**, 7 (1977).
9. В. Г. Барьяхтар, Ю. И. Горобец, С. И. Денисов, ЖЭТФ **98**, 1345 (1990).
10. В. Г. Барьяхтар, В. С. Герасимчук, Ю. И. Горобец, В. Ф. Клепиков, ФТТ **20**, 2312 (1978).
11. В. С. Герасимчук, Ю. И. Горобец, ФНТ **5**, (1979).
12. В. С. Герасимчук, Ю. И. Горобец, УФЖ **24**(3), 289 (1979).
13. Ю. И. Горобец, С. И. Денисов, УФЖ **35**(2), 271 (1990).
14. Д. И. Семенов, А. М. Шутый, Письма в ЖЭТФ **74**, 339 (2001).
15. Д. И. Семенов, А. М. Шутый, в *Сб. трудов XVIII междунар. школы-семинара «НМММ»*, Изд-во МГУ, Москва (2002), с. 417.
16. Ф. В. Лисовский, О. П. Поляков, в *Сб. трудов XX междунар. школы-семинара «НМММ»*, Изд-во МГУ, Москва (2002), с. 438.
17. Ф. В. Лисовский, Е. Г. Мансветова, в *Сб. трудов XXI междунар. школы-семинара «НМММ»*, Изд-во МГУ, Москва (2006), с. 70.
18. Л. Д. Ландау, Е. М. Лифшиц, *Электродинамика сплошных сред*, Наука, Москва (1982).